

FIG. 1

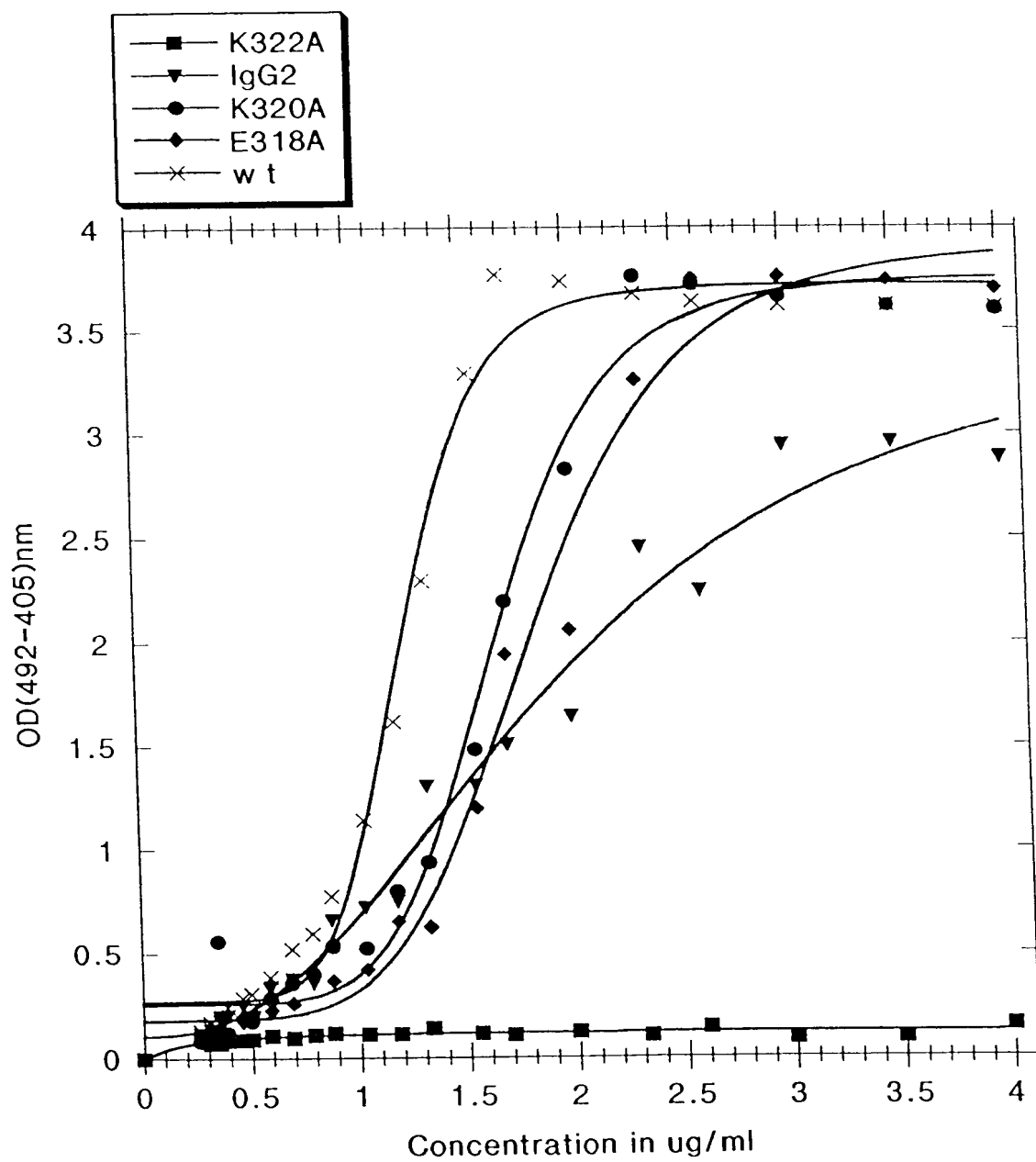


FIG. 2

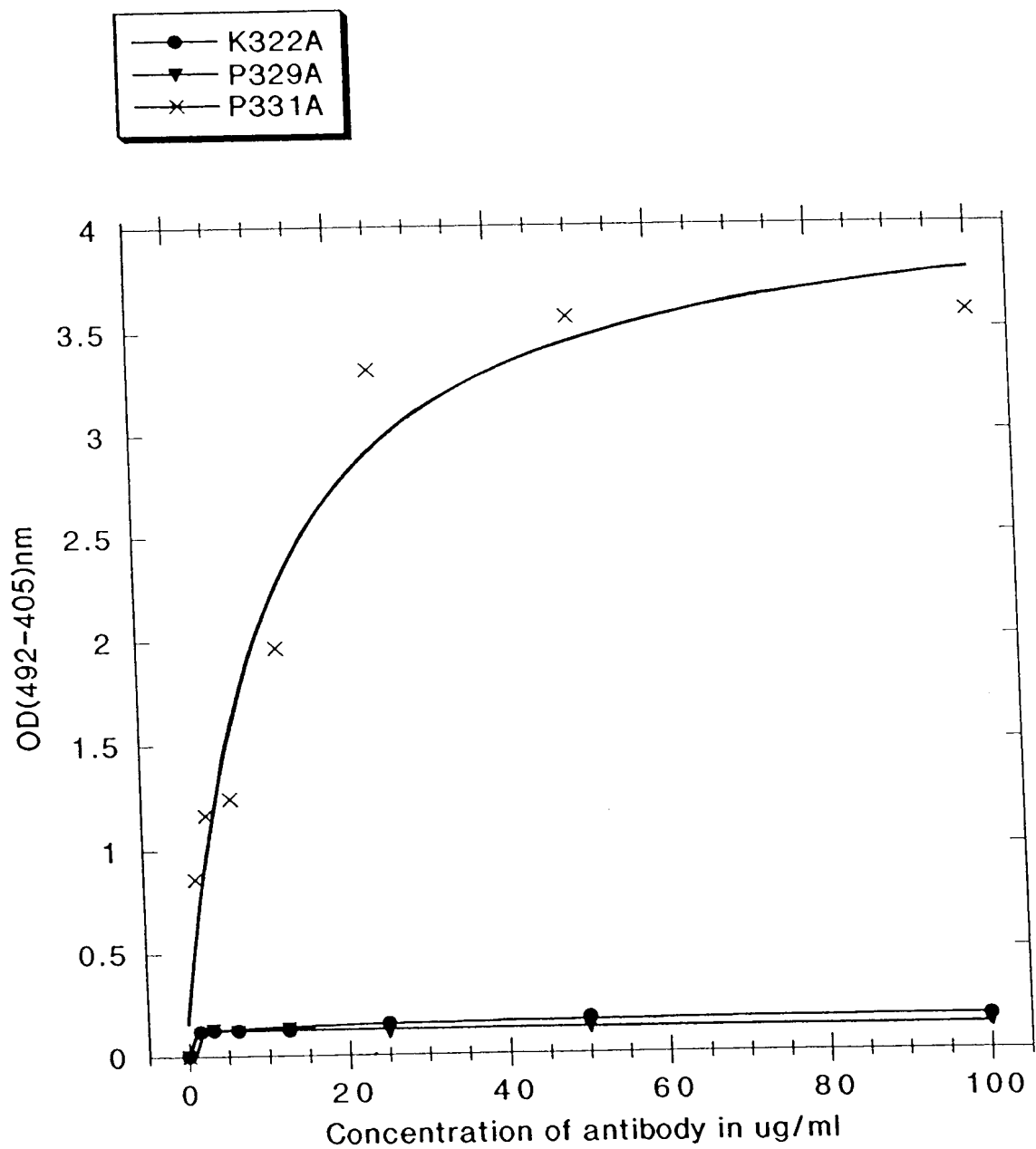


FIG. 3

FIG. 4A (E27) - Light Chain

DIQLTQSPSS	LSASVGDVRT	ITCRASKPVD	GEGDSYLNWY	QQKPGKAPKL	LIYAASYLE	GVPSRFSGSG
SGTDFTLTIS	SLOPEDFATY	YCQQSHEDPY	TFGQGTKVEI	KRTVAAPSVF	IFPPSDEQLK	SGTASVVCLL
NNFYPREAKV	QWKVDNALQS	GNSQESVTEQ	DSKDSYSTSLS	STLTLSKADY	EKKKVVACEV	THQGLSSPVT
KSFNRGEC						

FIG. 4B (E27) - Heavy Chain

EVQLVESGGG	LVQPGGSLRL	SCAVSGYSIT	SGYSWNWIRQ	APGKGLEWVA	SIKYSGETKY	NPSVKGRITI
SRDDSKNTFY	LQMNSLRAED	TAVYCARGS	HYFGHWHFAV	WGQGLVTVS	SASTKGPSVF	PLAPSSKSTS
GGTAALGCLV	KDYFPEPVTI	SWNSGALTSG	VHTFPAVLQS	SGLYSLSSV	TVPSSSLGTQ	TYICNVNKKP
SNTKVDKKVE	PKSCDKTHC	PPCPAPELLG	GPSVFLFPPK	PKDTLMISRT	PEVTCVVVDV	SHEDPEVKFN
WYVDGVEVHN	AKTKPREEQY	NSTYRVVSVL	TVLHQDWLNG	KEYCKKVSNK	ALPAPIEKTI	SKAKGQPREP
QVYTLPPSRE	EMTKNQVSLT	CLVKGFYPSD	IAVEWESNGQ	PENNYKTPPP	VLDSDGSEFFL	YSKLTVDKSR
WQQGNVFSCS	VMHEALHNHY	TQKSLSLSPG	K			

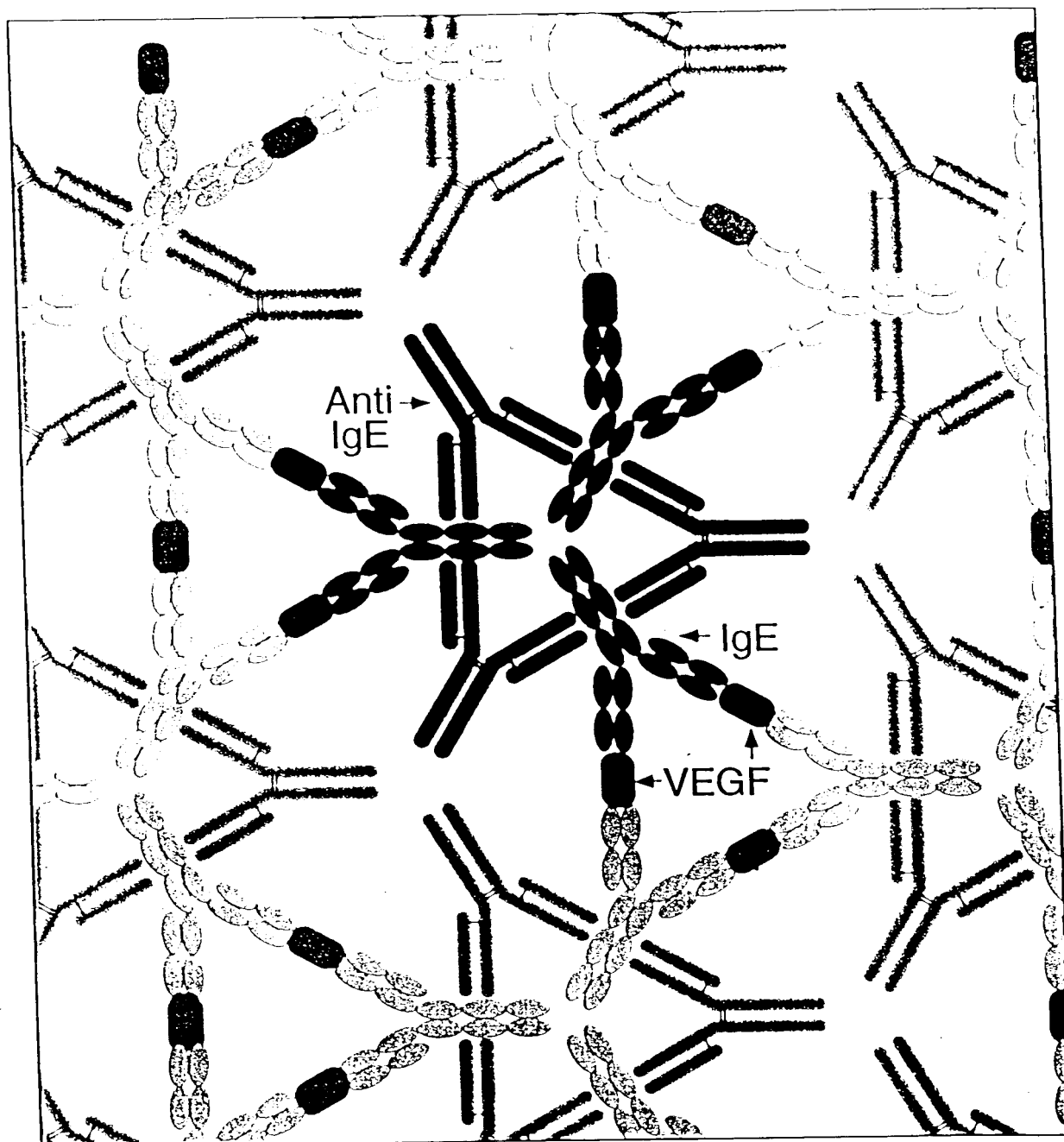


Fig. 5

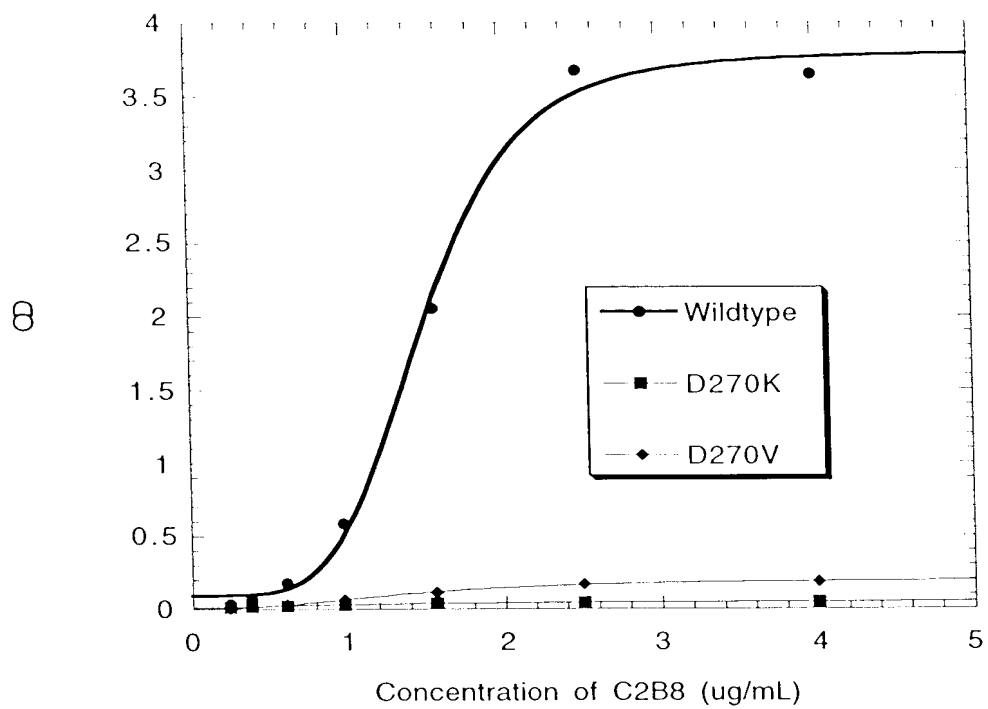


FIG. 6

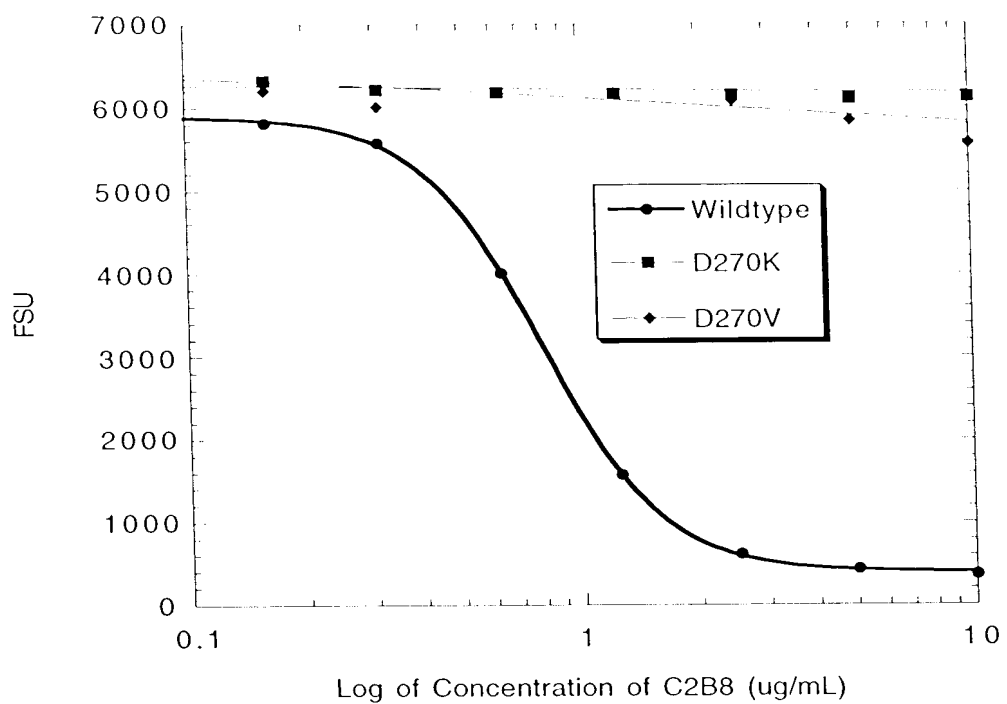


FIG. 7

- K274A
- S324A
- ◇ K326A
- × K334A
- † P329A
- P331A
- E333A
- ◆ 293-Wt-C2B8
- CHO-Wt-C2B8
- ▲ Y278A
- T335A

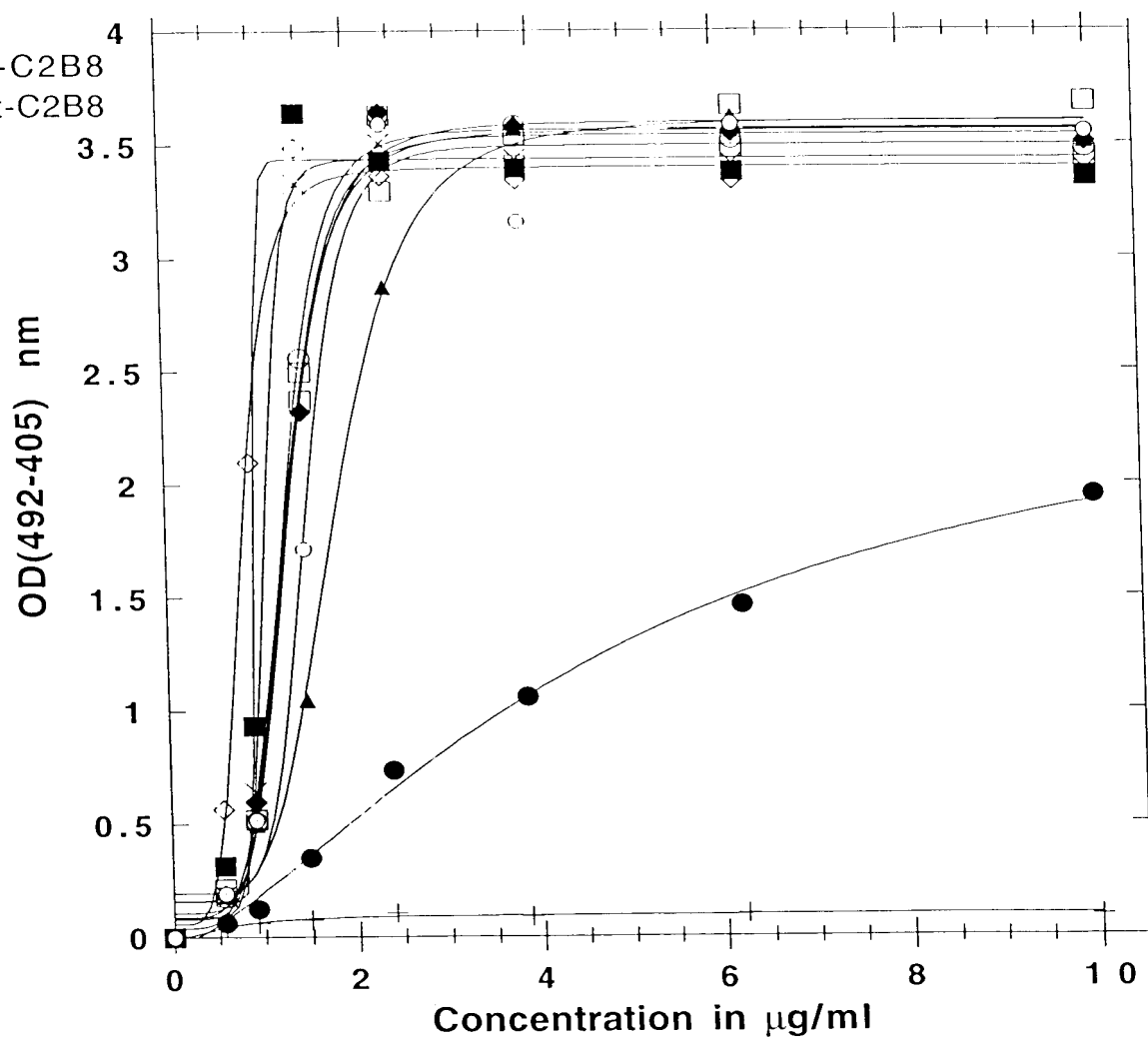


FIG. 8

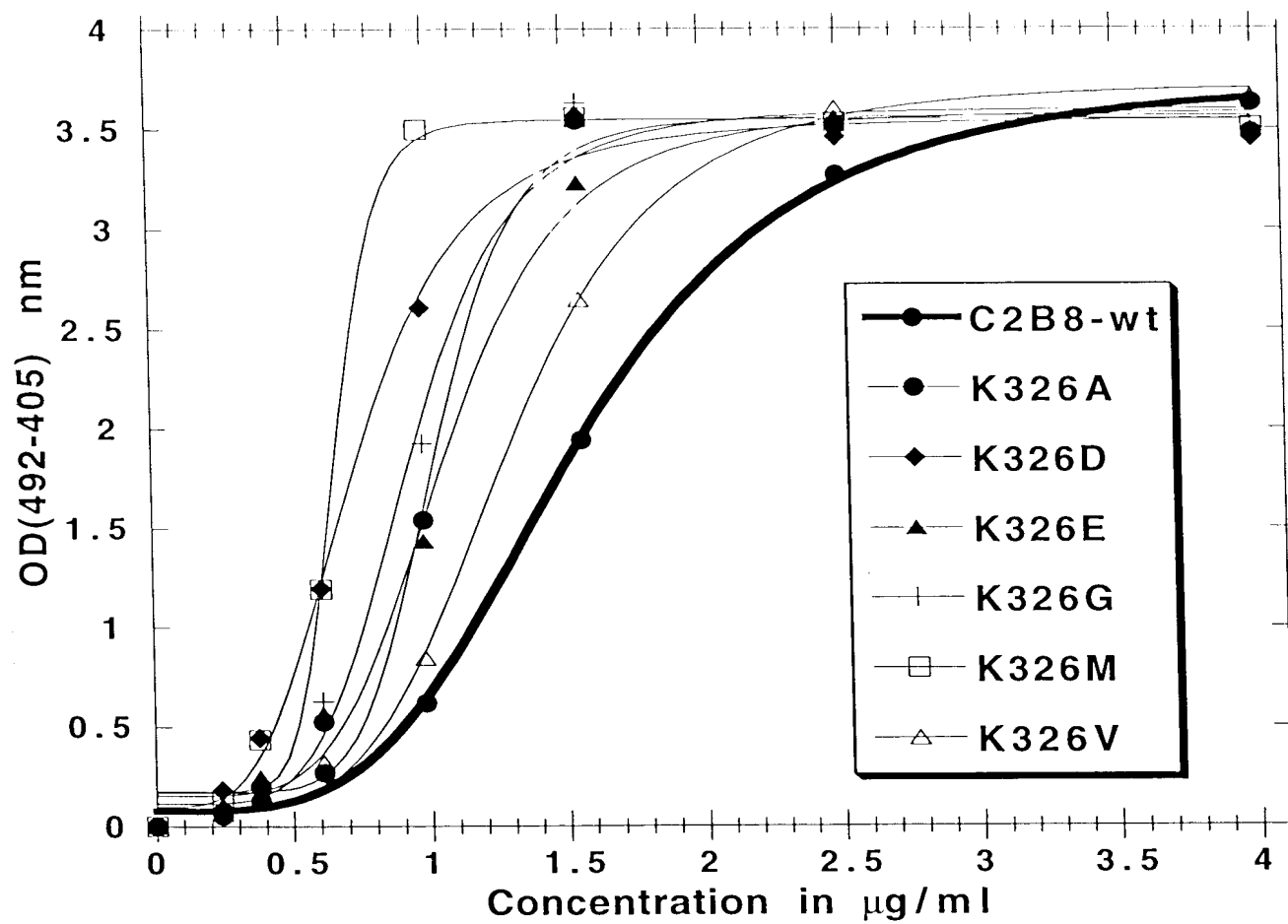


FIG. 9

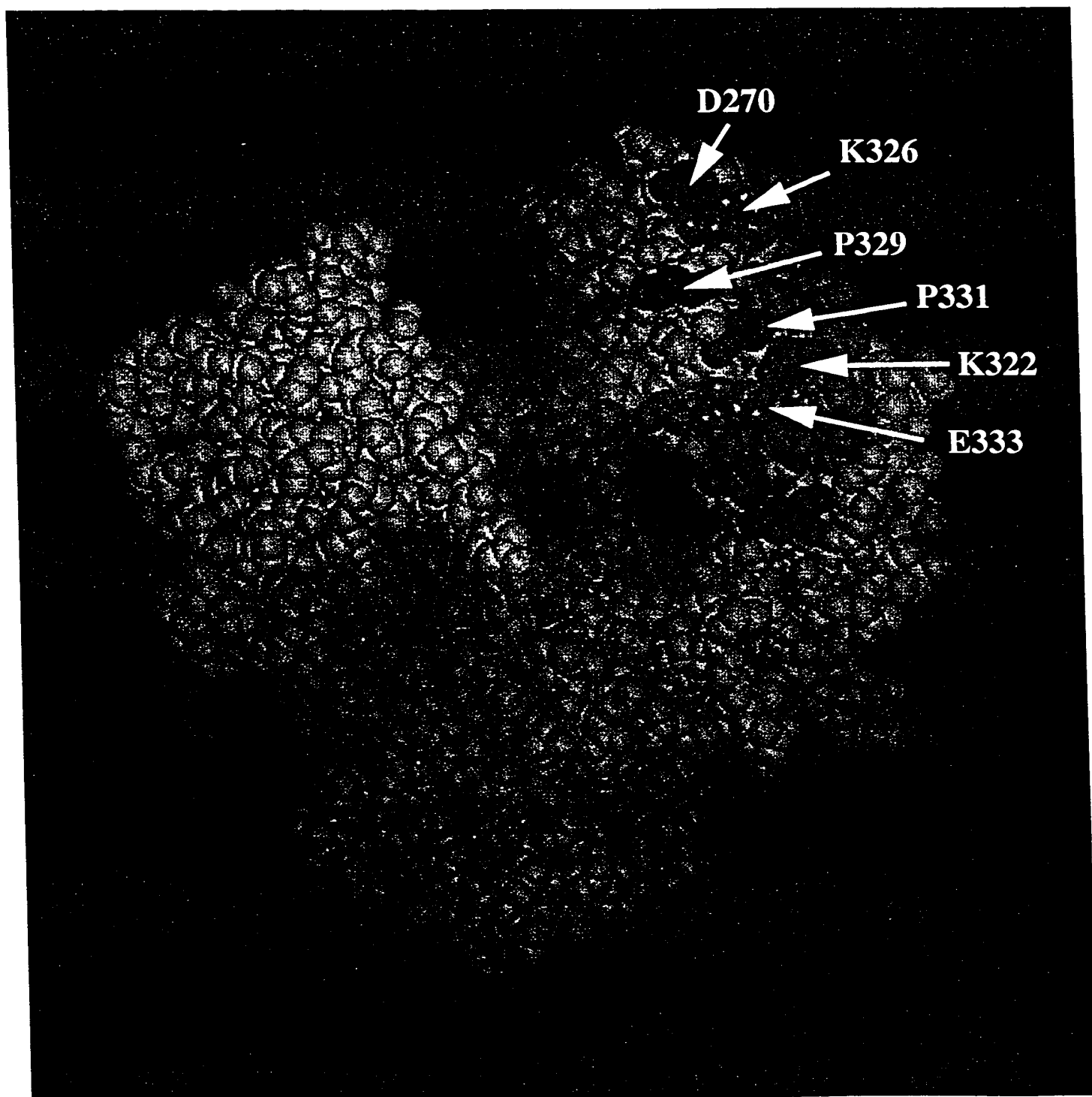


FIG. 10

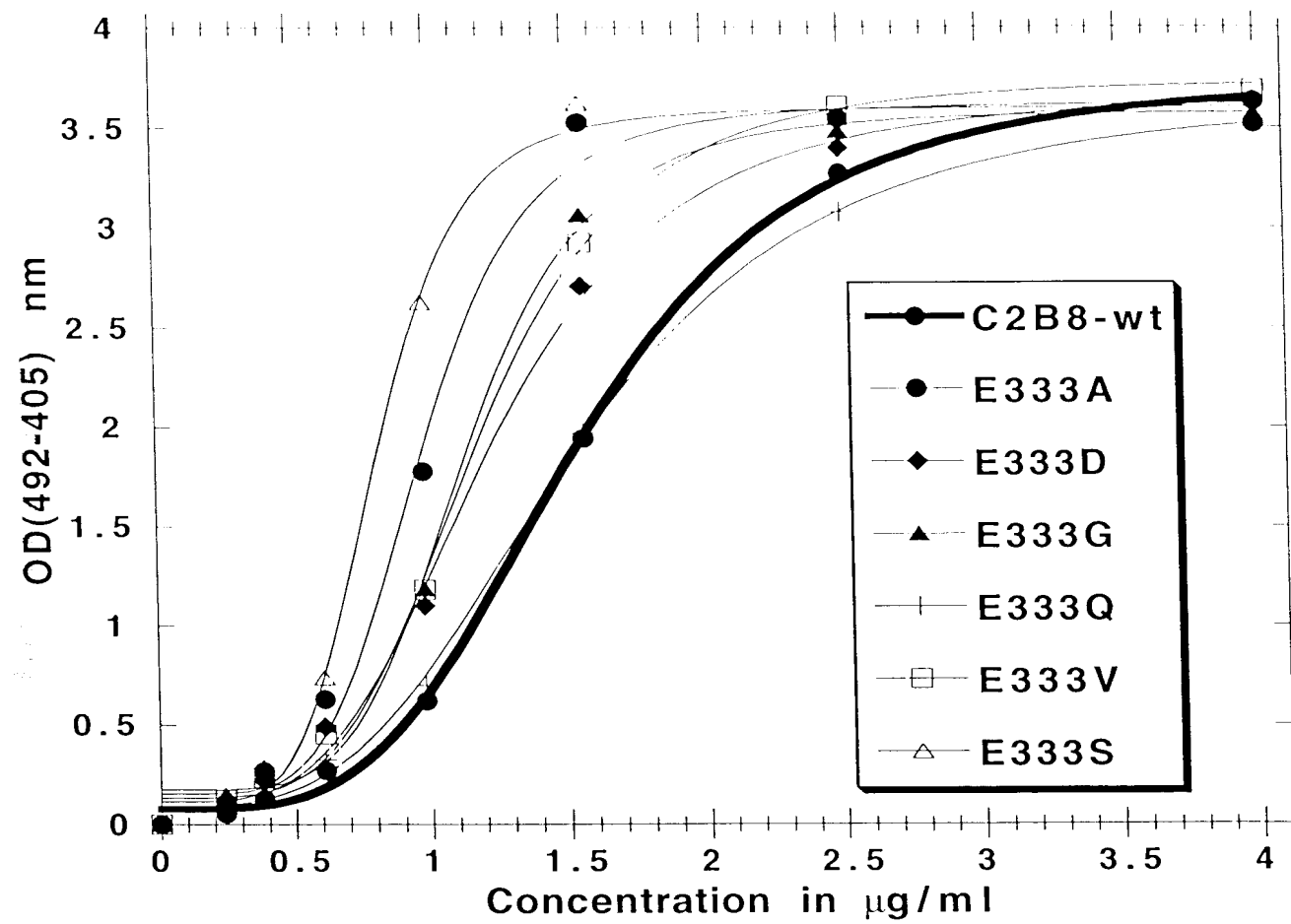


FIG. 11

8

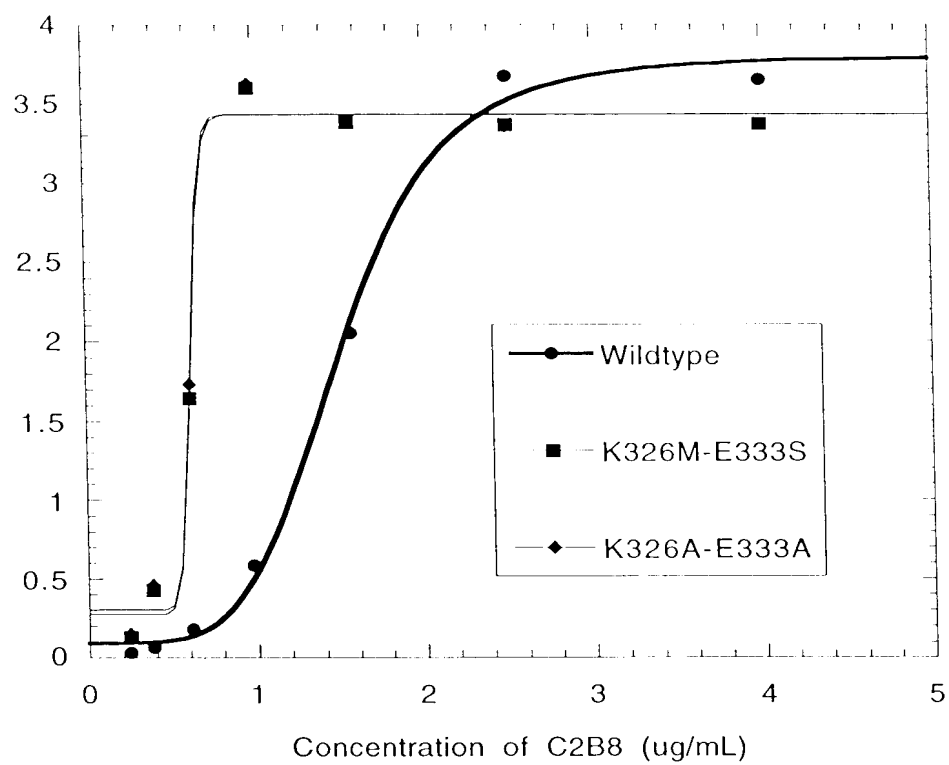


FIG. 12

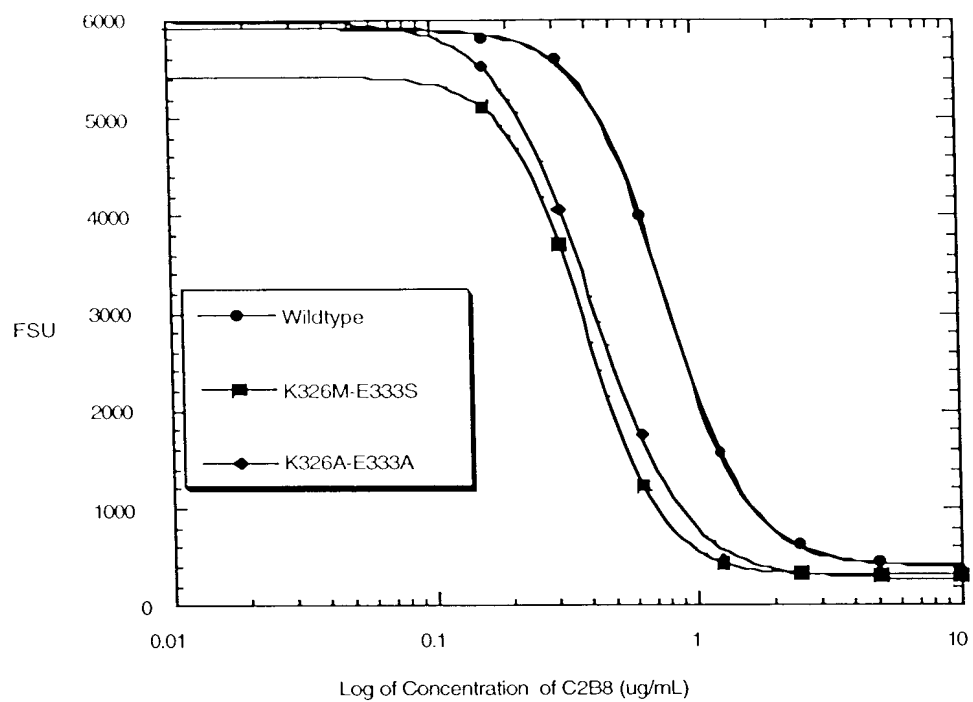


FIG. 13

EC50 of wt-C2B8 = 1.54
EC50 of A327g (C2B8) = 1.08

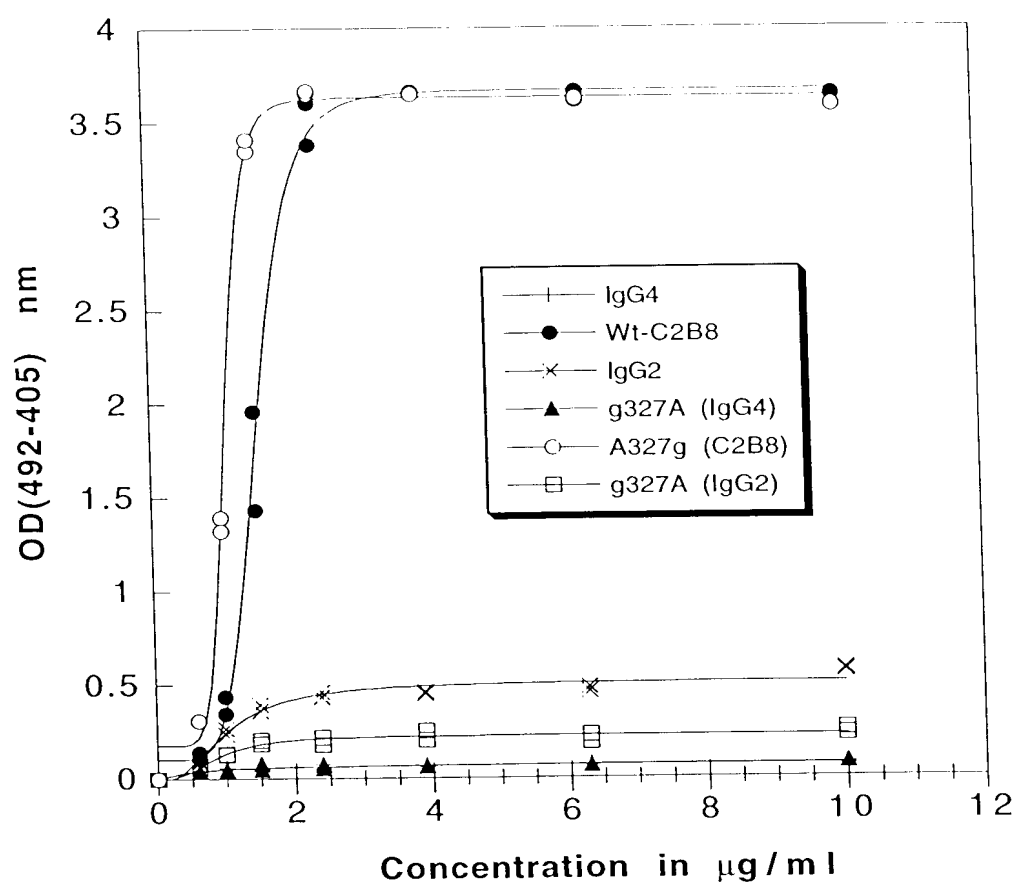


FIG. 14

Fc γ RIIB

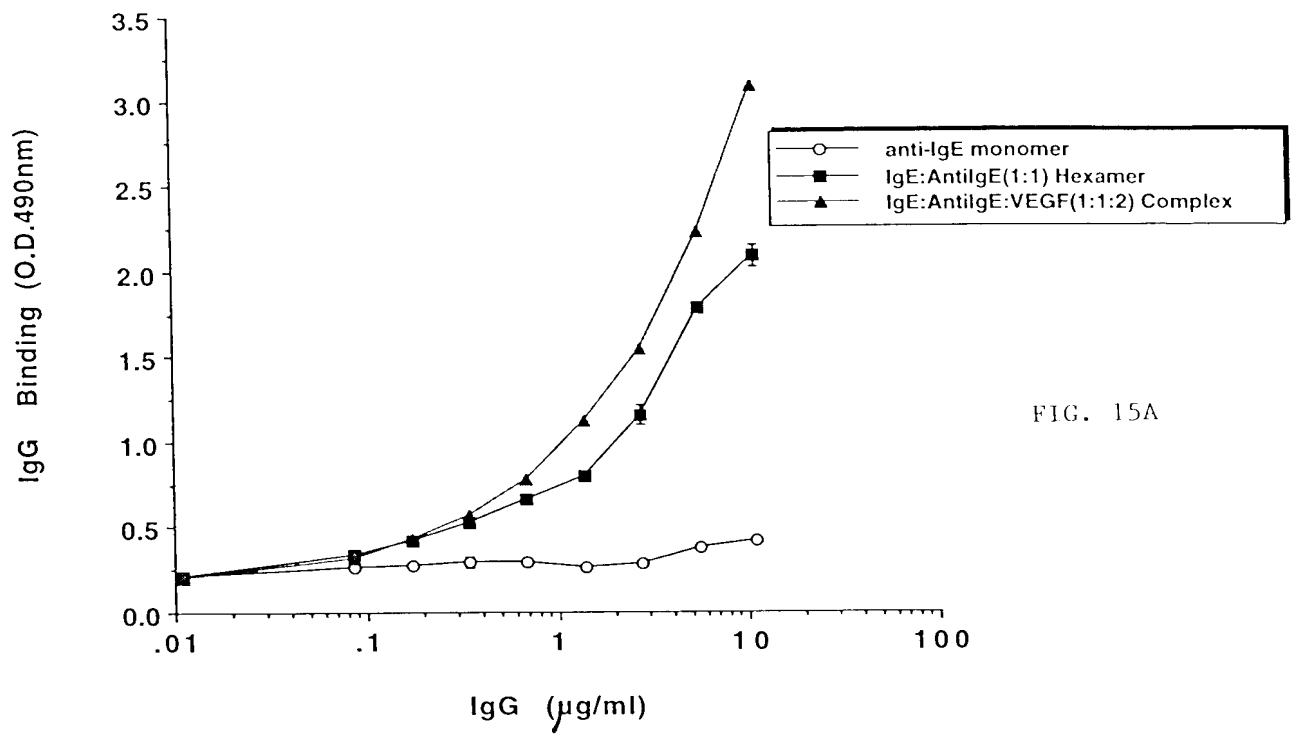


FIG. 15A

Fc γ RIIA

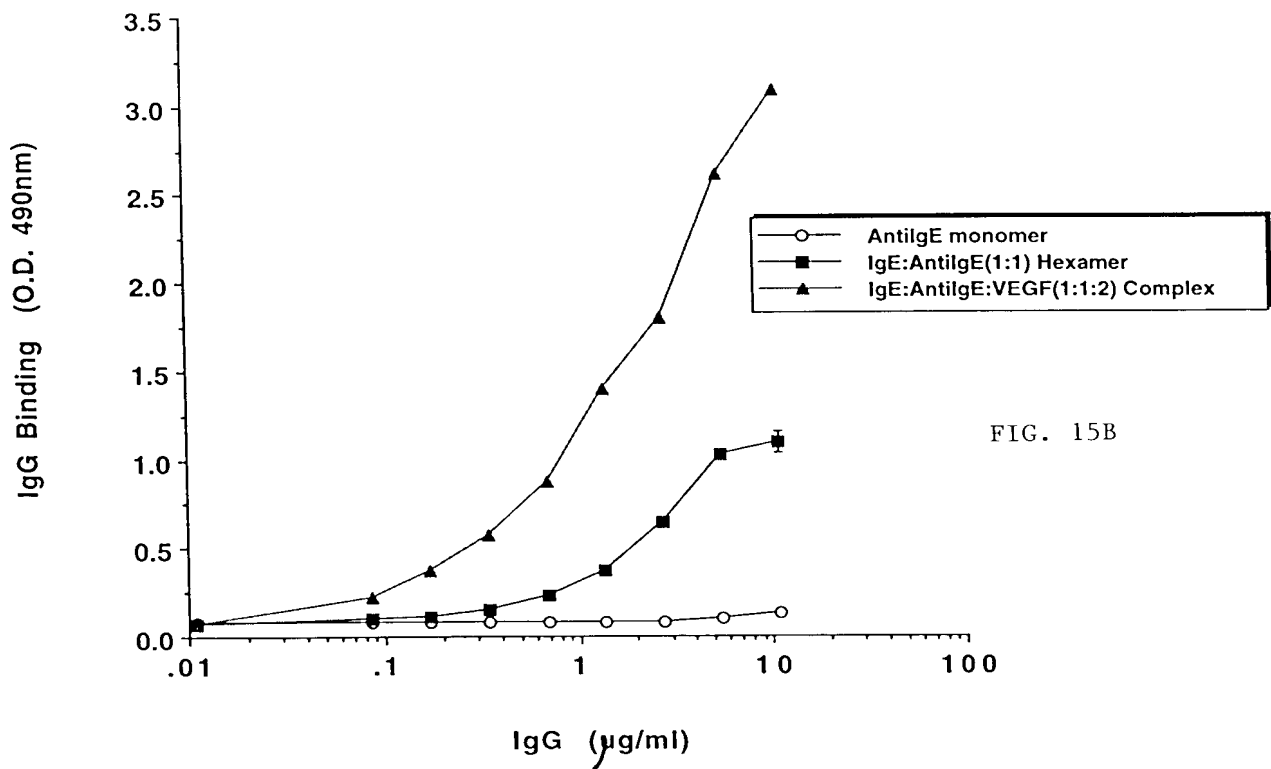


FIG. 15B

FCγRIIA

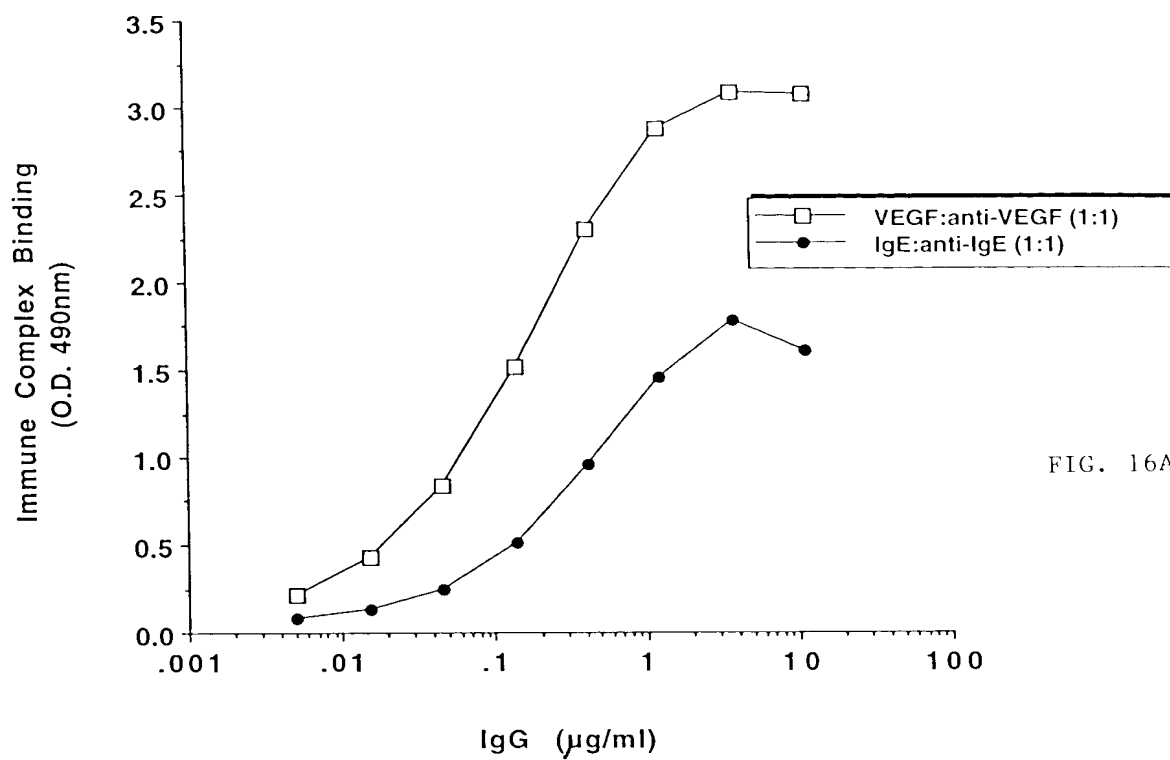


FIG. 16A

FCγRIIA

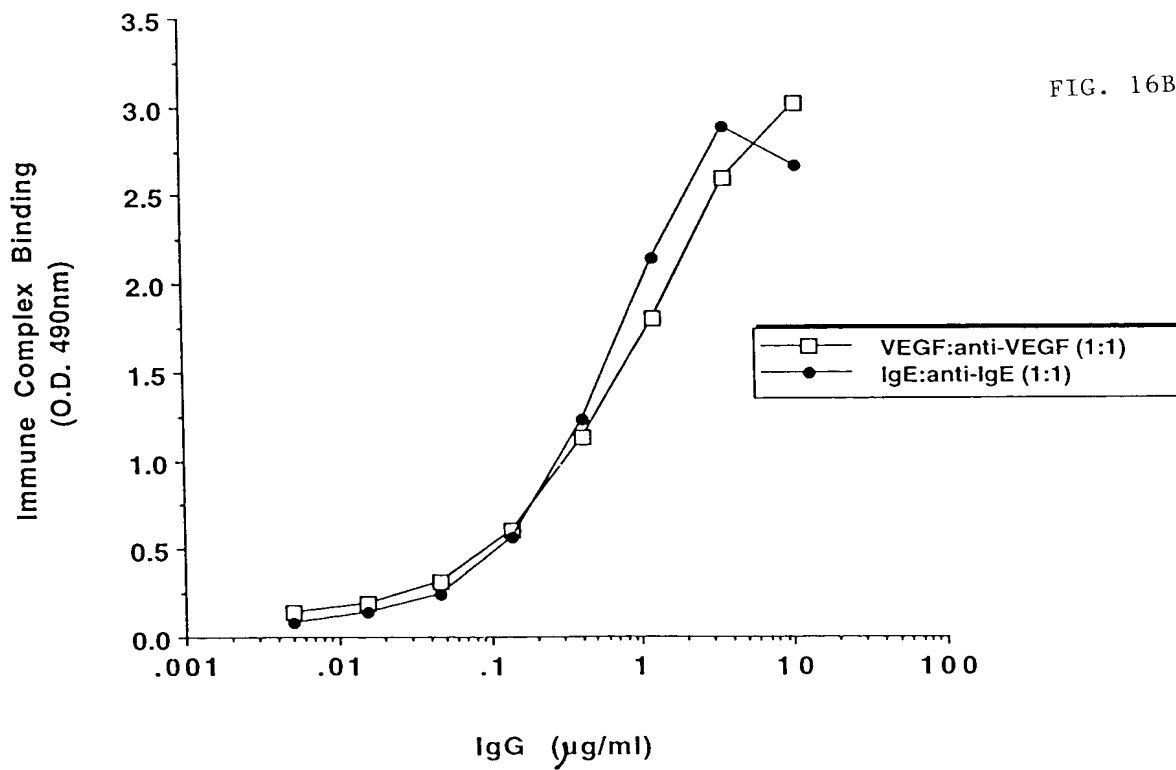


FIG. 16B

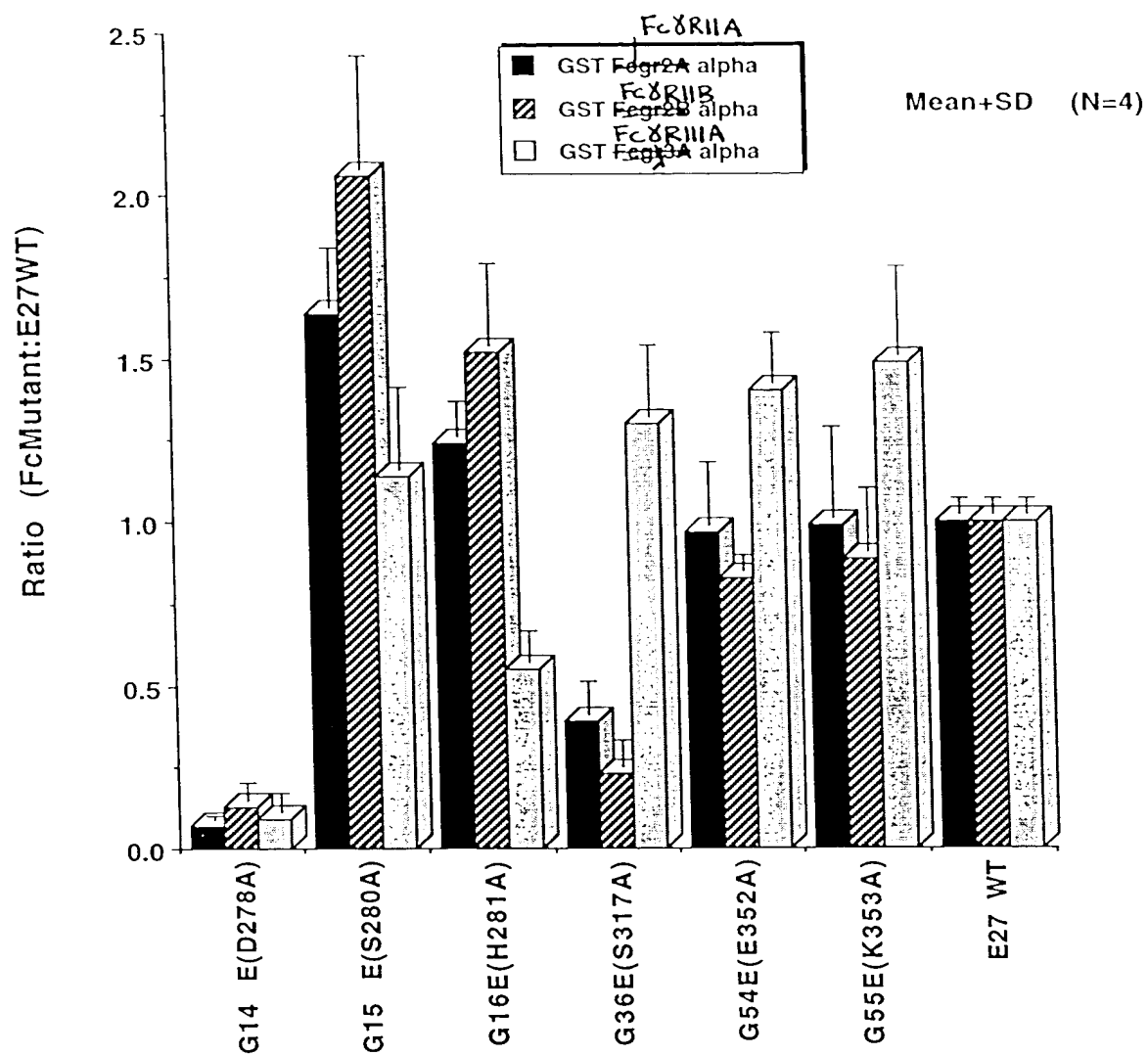


FIG. 17

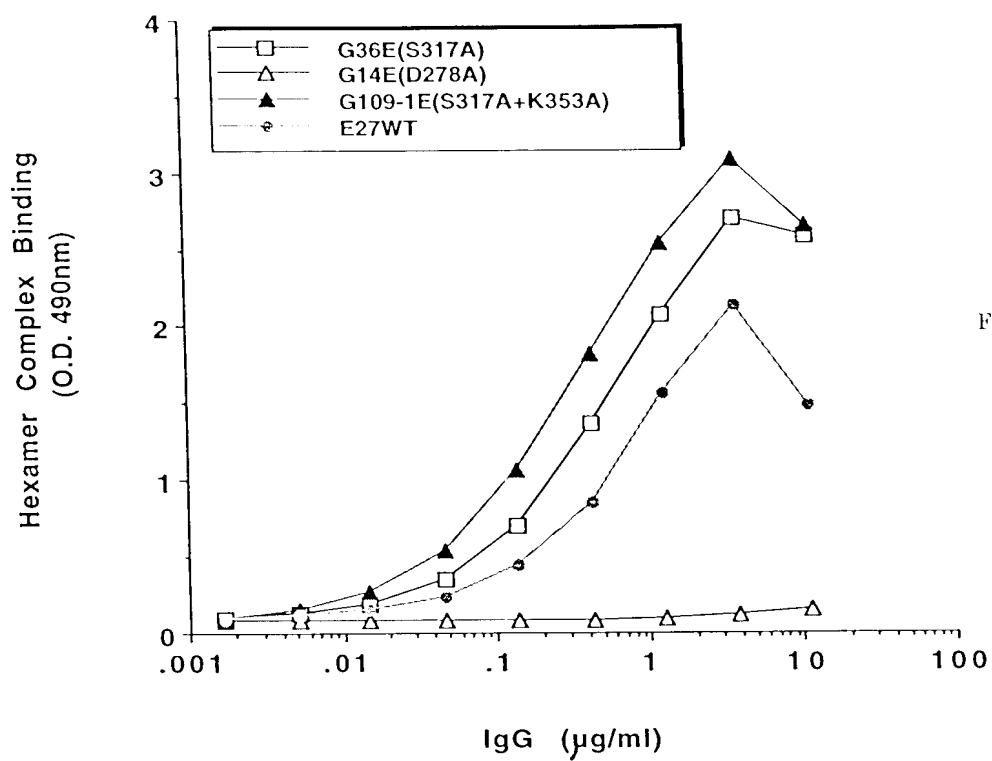


FIG. 18A

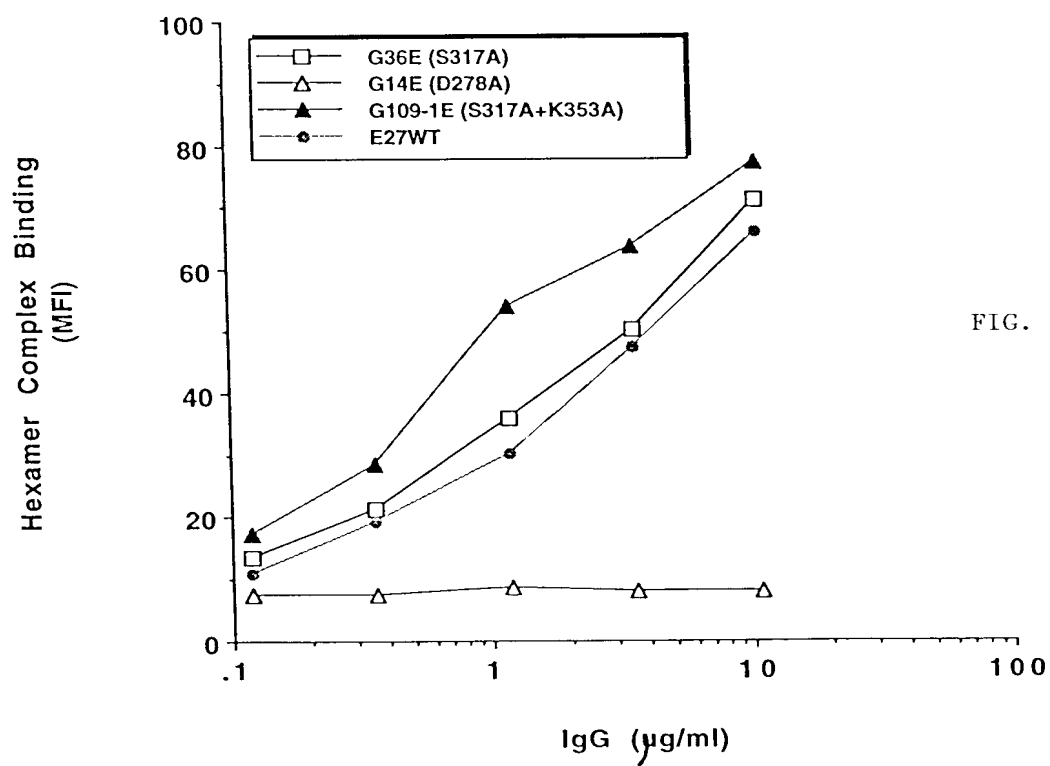


FIG. 18B

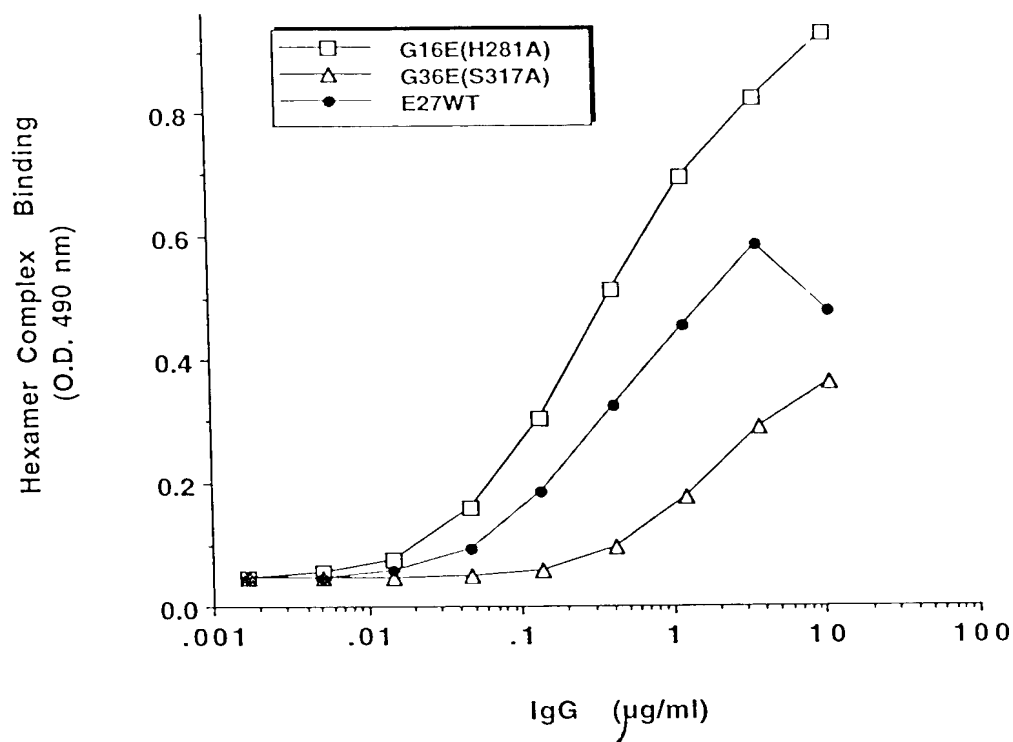


FIG. 19A

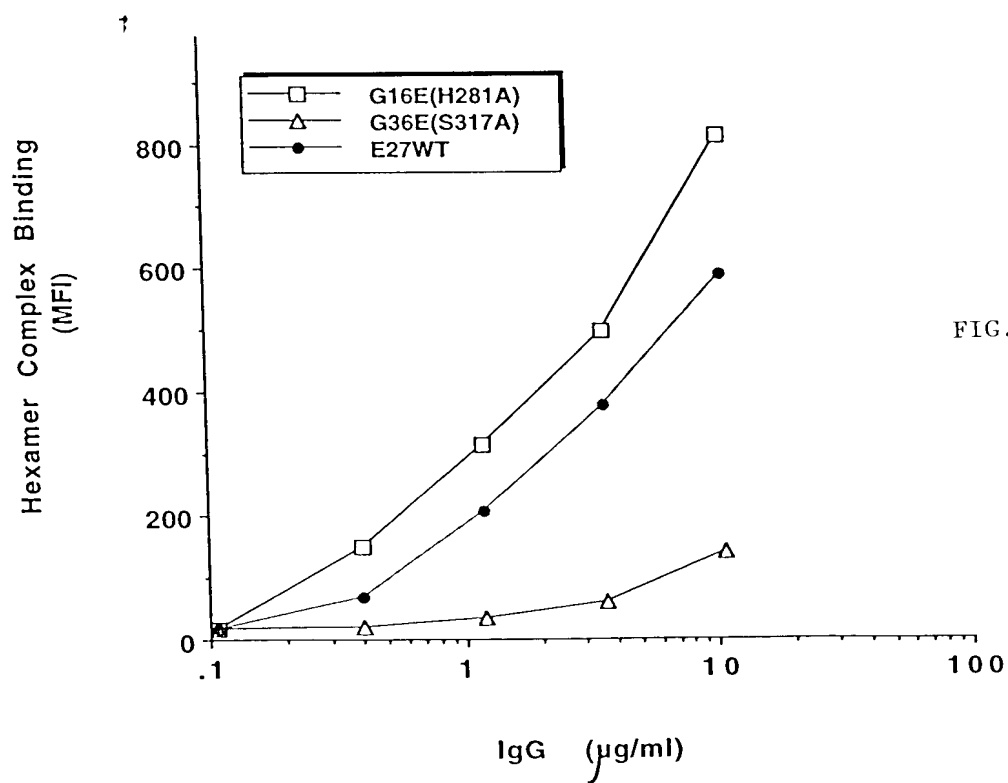


FIG. 19B

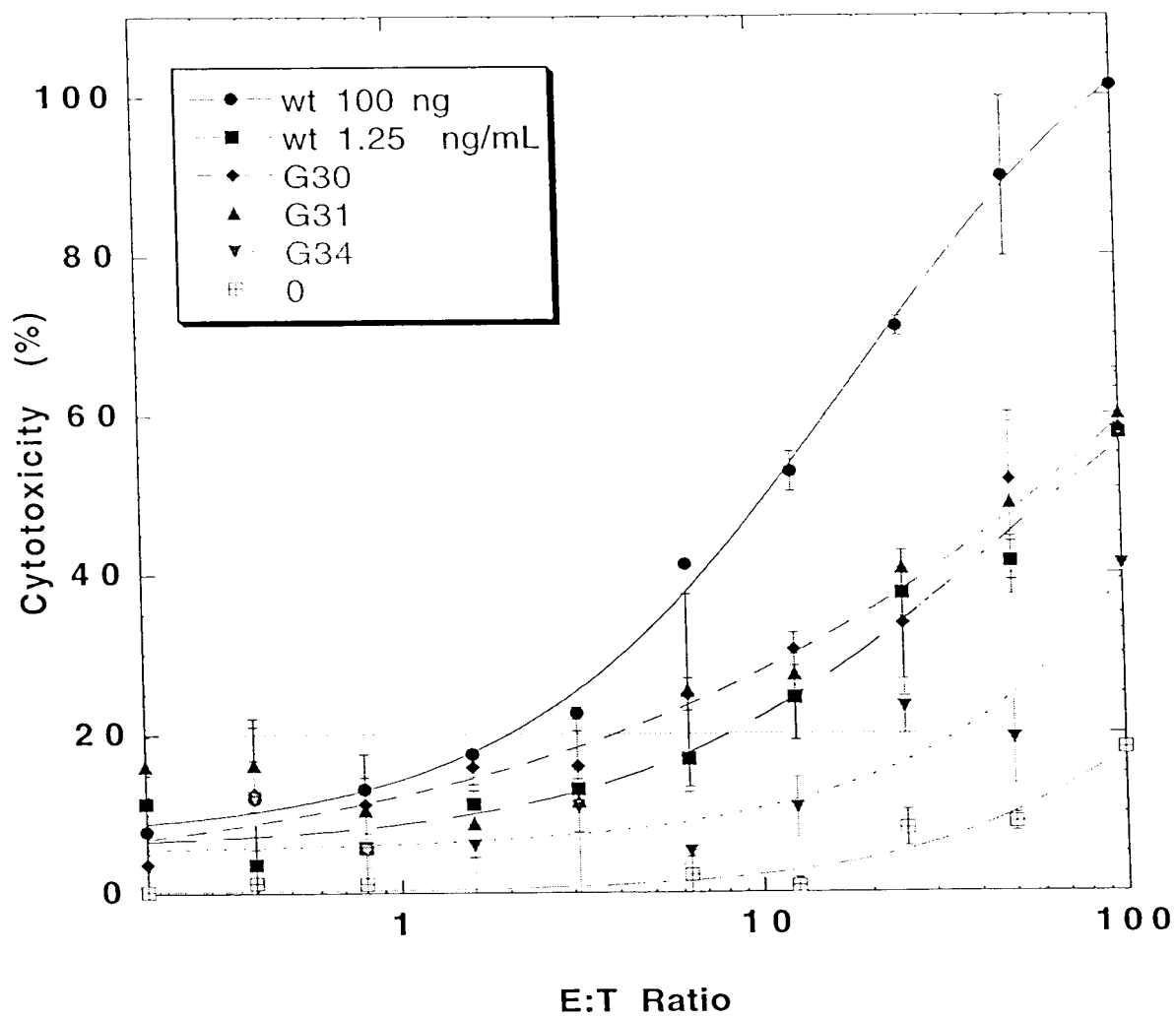


FIG. 20

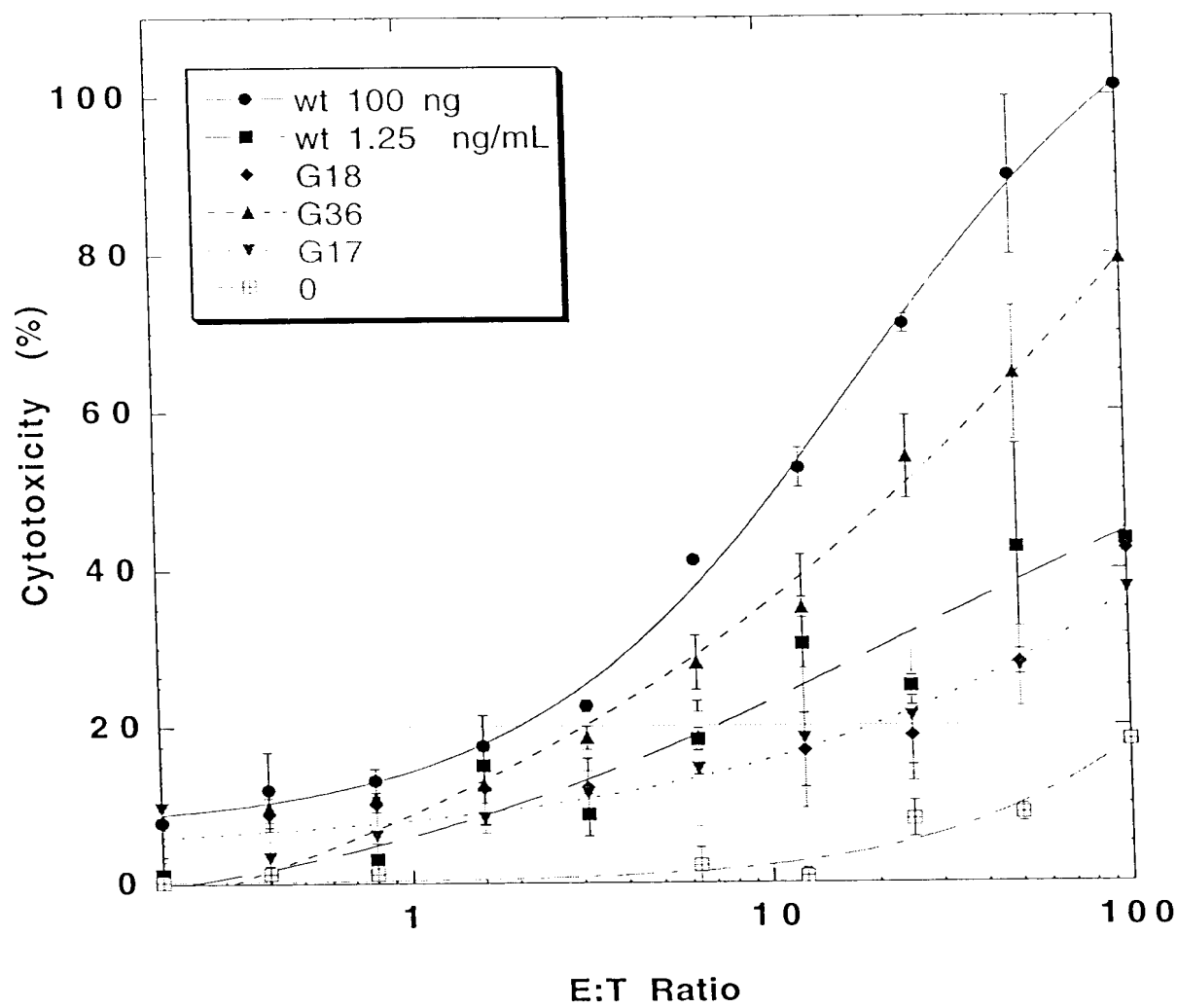


FIG. 21

	230	240	250	260	270
humIgG1	PAPELLGGPSVFLFPPKPFDTLMISRTPEVTCVVVDVSHEDPEVKFNWYV				
humIgG2	PAP-PVAGPSVFLFPPKPFDTLMISRTPEVTCVVVDVSHEDPEVQFNWYV				
humIgG3	PAPELLGGPSVFLFPPKPFDTLMISRTPEVTCVVVDVSHEDPEVQFNWYV				
humIgG4	PAPEFLGGPSVFLFPPKPFDTLMISRTPEVTCVVVDVSHEDPEVQFNWYV				
murIgG1	--TVPEVSSVFI FPPKPFDTLITLTPKVTCTVVVDISKDDPEVQFSWFV				
murIgG2A	PAPNLLGGPSVFI FPPKPFDTLIMISLSPITVTCVVVDVSEDDPDVQISWFV				
murIgG2B	PAPNLEGGPSVFI FPPKPFDTLIMISLTPKVTCTVVVDVSEDDPDVQISWFV				
murIgG3	PPGNILGGPSVFI FPPKPFDTALMISLTPKVTCTVVVDVSEDDPDVHVSWFV				
	280	290	300	310	320
humIgG1	DGVEVHNAKTKPREEQYNSTYRVVSVLTVLHQDWLNGKEYKCKVSNFALP				
humIgG2	DGVEVHNAKTKPREEQFNISTFRVVSFLTVVHQDWLNGKEYKCKVSNFGLP				
humIgG3	DGVEVHNAKTKPREEQFNISTFRVVSFLTVLHQDWLNGKEYKCKVSNFALP				
humIgG4	DGVEVHNAKTKPREEQFNISTYRVVSVLTVLHQDWLNGKEYKCKVSNKGLP				
murIgG1	DDDEVHTAQTTQPREEQFNISTFRSVSELPIMHQDCLNGKEFKCKVNSAAFP				
murIgG2A	NNVEVHTAQTTQTHREDYNISTLRVVSALPIQHQQDWMMSGKEFKCKVNIHDL				
murIgG2B	NNVEVHTAQTTQTHREDYNISTIRVVSALPIQHQQDWMMSGKEFKCKVNIHDL				
murIgG3	DNKEVHTAWTQPREAQYNSTFRVVSALPIQHQQDWMRGKEFKCKVNNKALP				
	330	340	350	360	370
humIgG1	APIEKTISKAKGQPREPQVYTLPPSREEMTKNQVSLTCLVKGFYPSDIAV D L				
humIgG2	APIEKTISKTKGQPREPQVYTLPPSREEMTKNQVSLTCLVKGFYPSDIAV				
humIgG3	APIEKTISKTKGQPREPQVYTLPPSREEMTKNQVSLTCLVKGFYPSDIAV				
humIgG4	SSIEKTISKAKGQPREPQVYTLPPSQEEMTKNQVSLTCLVKGFYPSDIAV				
murIgG1	APIEKTISKTKGRPKAPQVYTI PPPKEQMAKDKVSLTCMITDFFPEDITV				
murIgG2A	APIERTISKPKGSVRAPQVYVLPPEEEMTKKQVTLTCMVTD FMPEDIYV				
murIgG2B	SPIERTISKPKGLVRAPQVYTLPPPAEQLSRKDVSLTCLVVG FNP GD ISV				
murIgG3	APIERTISKPKGRAQTFQVYTI PPPPREQMSKKVSLTCLVTNFFSEAI SV				
	380	390	400	410	420
humIgG1	EWESNGQPENNYKTTPPVLDSDGSFFLYSKLTVDKSRWQQGNV FSC SVMH				
humIgG2	EWESNGQPENNYKTTPPMLDSDGSFFLYSKLTVDKSRWQQGNV FSC SVMH				
humIgG3	EWESSGQPENNYNTTPPMLDSDGSFFLYSKLTVDKSRWQQGNIFSC SVMH				
humIgG4	EWZSNGQPENNYKTTPPVLDSDGSFFLYSRLTVDKSRWQEGNV FSC SVMH				
murIgG1	EWQWNGQPAENYKNTQPI MDTDGSYFVYSKLVQKSNWEAGNTFTCSVLH				
murIgG2A	EWTNNGKTELNYKNTPEVLDSDGSYFMYSKLRVEKKNWVERNSYSCSVVH				
murIgG2B	EWT SNGHTEENYKDTAPVLDSDGSYFIYSKLVNMKTSKWEKTD SFSCNVRH				
murIgG3	EWERNGELEQDYKNTPI LDSDGTYFLYSKLTVD TD SWLQGEI FTCSVVH				
	430	440			
humIgG1	EALHNHYTQKSLSLSPGK				
humIgG2	EALHNHYTQKSLSLSPGK				
humIgG3	EALHNRFTQKSLSLSPGK				
humIgG4	EALHNHYTQKSLSLSPGK				
murIgG1	EGLHNHHTTEKSLSHSPGK				
murIgG2A	EGLHNHHTTKSFSRTPGK				
murIgG2B	EGLKNYYLKKTISRSPGK				
murIgG3	EALHNHHTQKNLSRSPGK				

FIG. 22A

Percent Identity Among Fc Sequences

	1	2	3	4	5	6	7	8
1. humIgG1	-	94	94	94	64	66	63	68
2. humIgG2		-	93	92	65	63	60	67
3. humIgG3			-	91	64	64	61	67
4. humIgG4				-	62	64	61	64
5. murIgG1					-	65	61	67
6. murIgG2A						-	77	70
7. murIgG2B							-	68
8. murIgG3								-

FIG. 22B

	230	240	250	260	270
humIgG1	PAPELLGGPSVFLFPPKPKDTLMISRTPEVTCVVVDVSHEDPEVFFNWYV				
humIgG2	PAP-PVAGPSVFLFPPKPKDTLMISRTPEVTCVVVDVSHEDPEVQFNWYV				
humIgG3	PAPELLGGPSVFLFPPKPKDTLMISRTPEVTCVVVDVSHEDPEVQFEWYV				
humIgG4	PAPEFLGGPSVFLFPPKPKDTLMISRTPEVTCVVVDVSEQEDPEVQFNWYV				
	***			*	* *
	280	290	300	310	320
humIgG1	DGVEVHNAKTKPREEQYNSTYRVVSVLTVLHQDWLNGKEYKCKVSNKALP				
humIgG2	DGVEVHNAKTKPREEQFNSTFRVVSVLTVVHQDWLNGKEYKCKVSNKGLP				
humIgG3	DGVEVHNAKTKPREEQFNSTFRVVSVLTVLHQDWLNGKEYKCKVSNKALP				
humIgG4	DGVEVHNAKTKPREEQFNSTYRVVSVLTVLHQDWLNGKEYKCKVSNKGLP				
			*	*	*
	330	340	350	360	370
humIgG1	APIEKTISKAKGQPREPQVYTLPPSREEMTKNQVSLTCLVKGFYPSDIAV				
				D L	
humIgG2	APIEKTISKTKGQPREPQVYTLPPSREEMTKNQVSLTCLVKGFYPSDIAV				
humIgG3	APIEKTISKTKGQPREPQVYTLPPSREEMTKNQVSLTCLVKGFYPSDIAV				
humIgG4	SSIEKTISKAKGQPREPQVYTLPPSQEEMTKNQVSLTCLVKGFYPSDIAV				
	**	*		*	
	380	390	400	410	420
humIgG1	EWESNGQPENNYKTTTPVLDSDGSFFLYSKLTVDKSRWQQGNVFSCSVMH				
humIgG2	EWESNGQPENNYKTTTPMLDSDGSFFLYSKLTVDKSRWQQGNVFSCSVMH				
humIgG3	EWESSGQPENNYNTTTPMLDSDGSFFLYSKLTVDKSRWQQGNIFSCSVMH				
humIgG4	EWESNGQPENNYKTTTPVLDSDGSFFLYSRLTVDKSRWQEGNVFSCSVMH				
	*	*	*	*	* *
	430	440			
humIgG1	EALHNHYTQKSLSLSPGK				
humIgG2	EALHNHYTQKSLSLSPGK				
humIgG3	EALHNRFTQKSLSLSPGK				
humIgG4	EALHNHYTQKSLSLSLGK				
	**	*			

FIG. 23

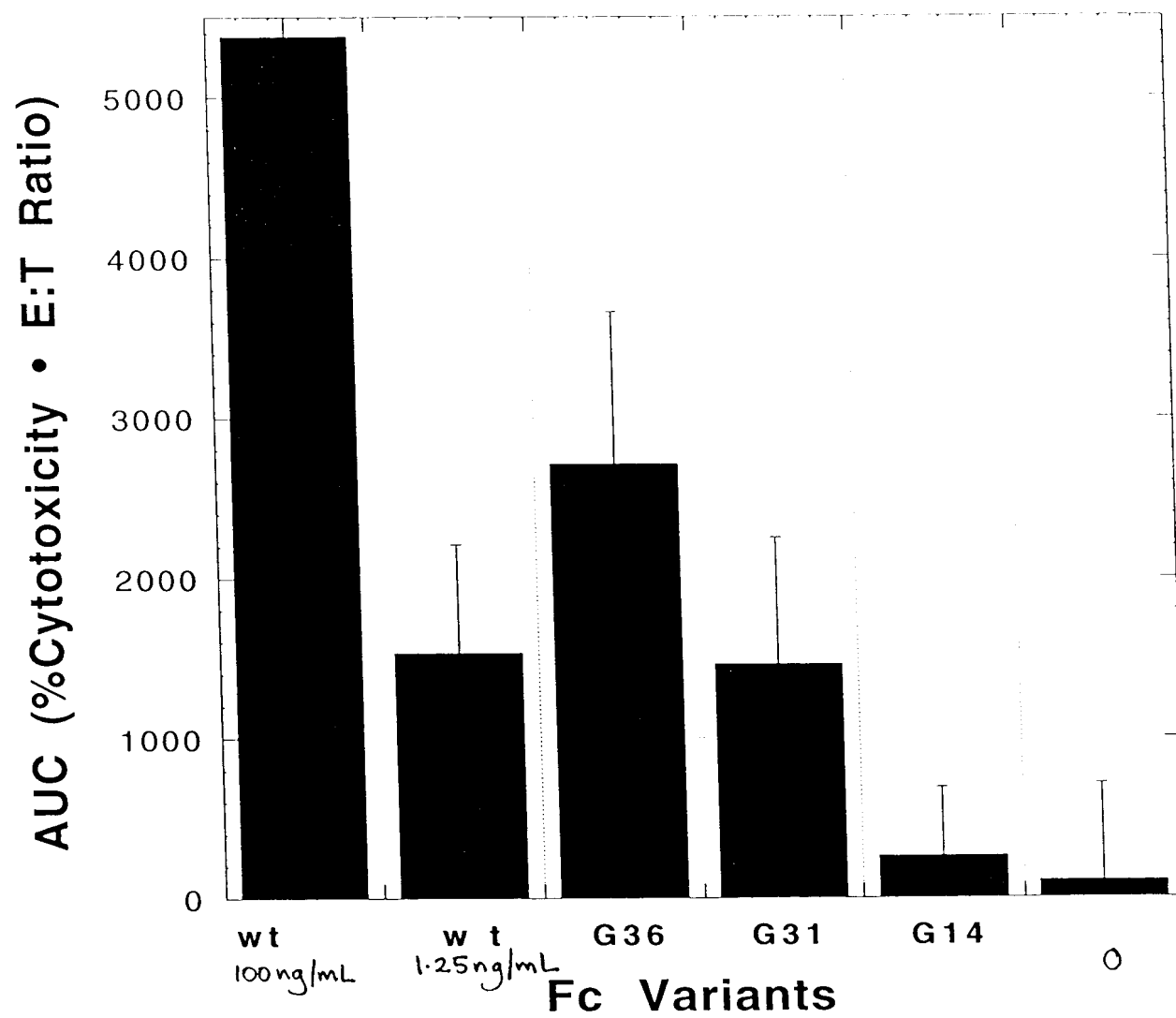


FIG. 24

A

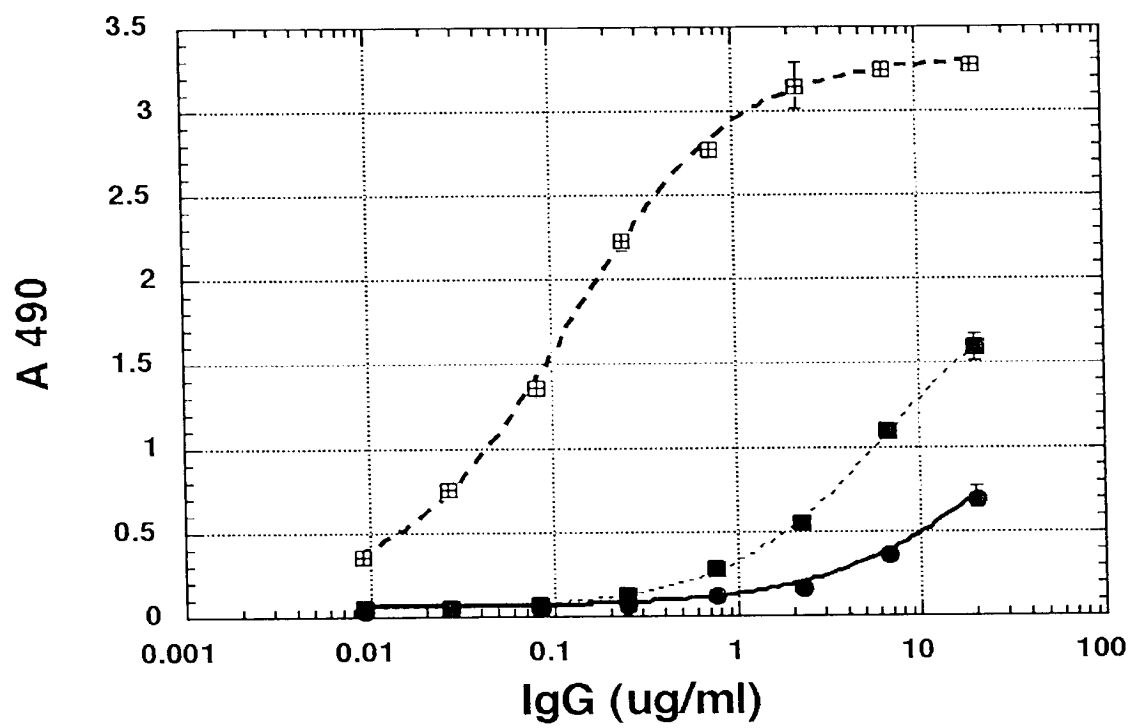


Fig. 25A

B

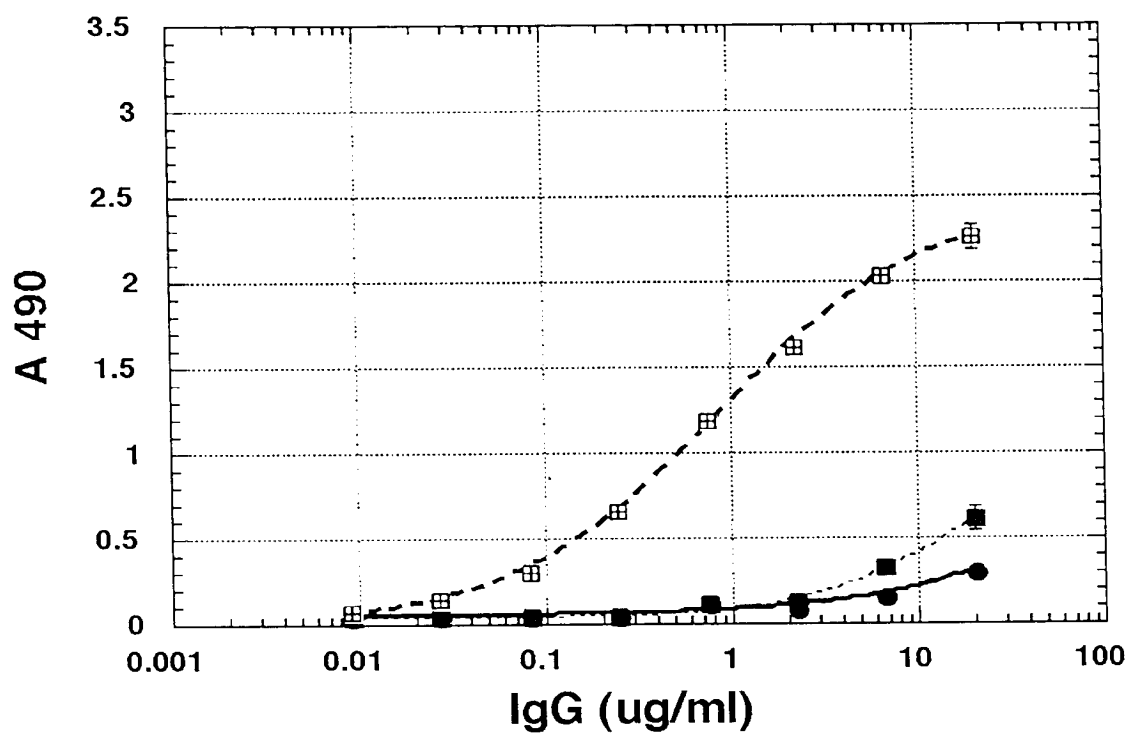


Fig. 25B

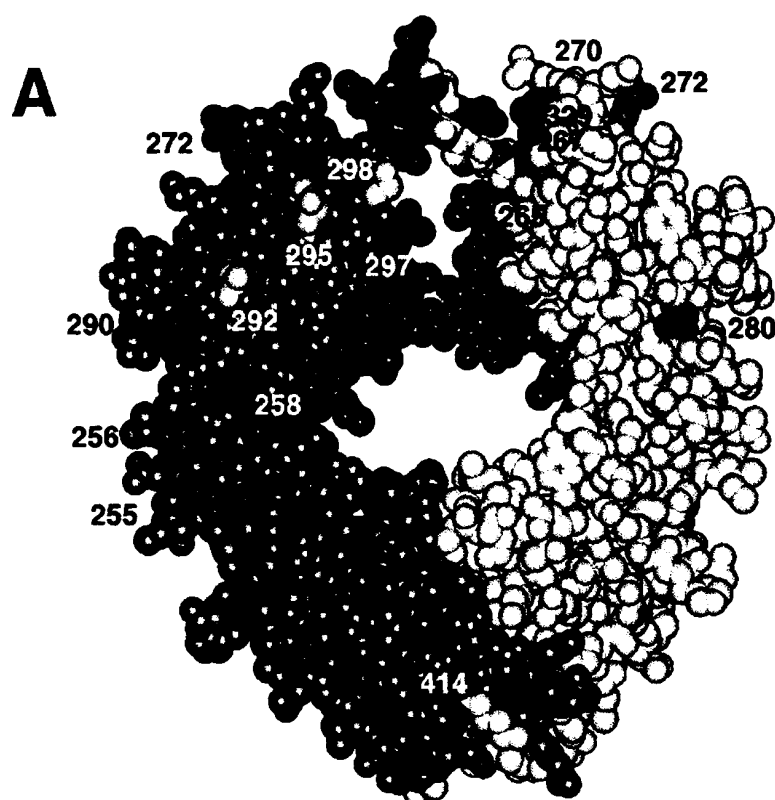


Fig. 26A

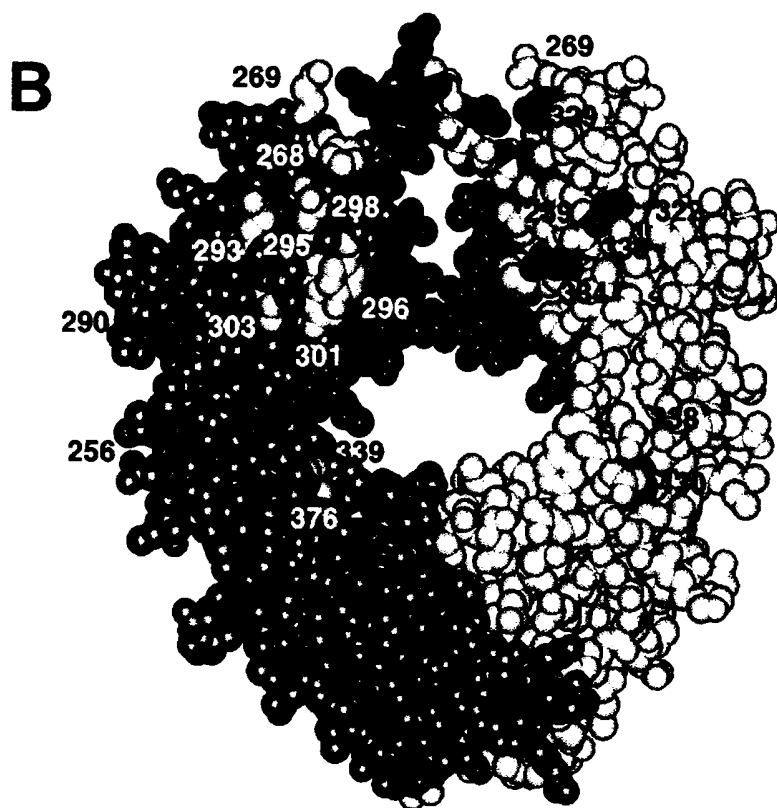


Fig. 26B

A

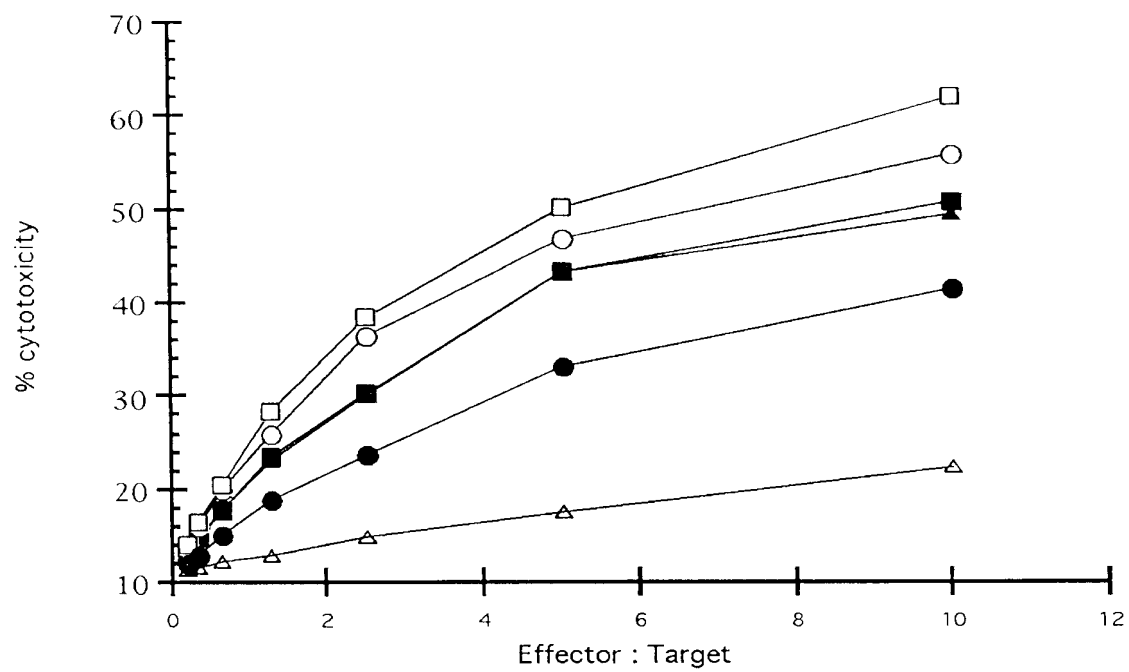


Fig. 27A

B

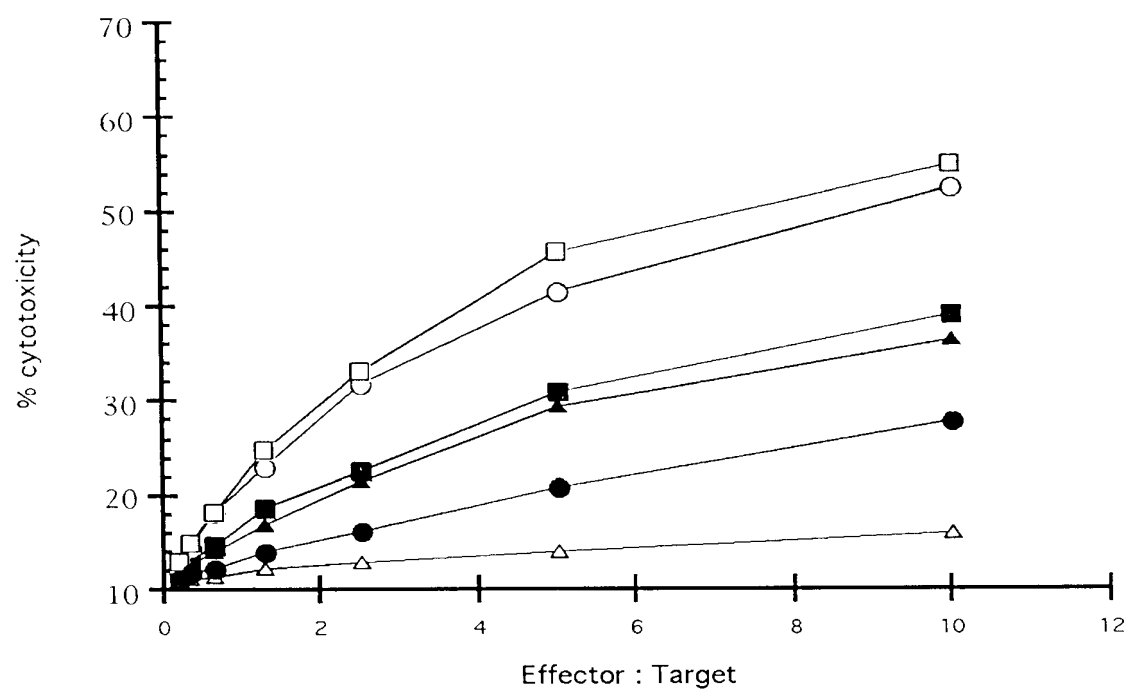


Fig. 27B

C

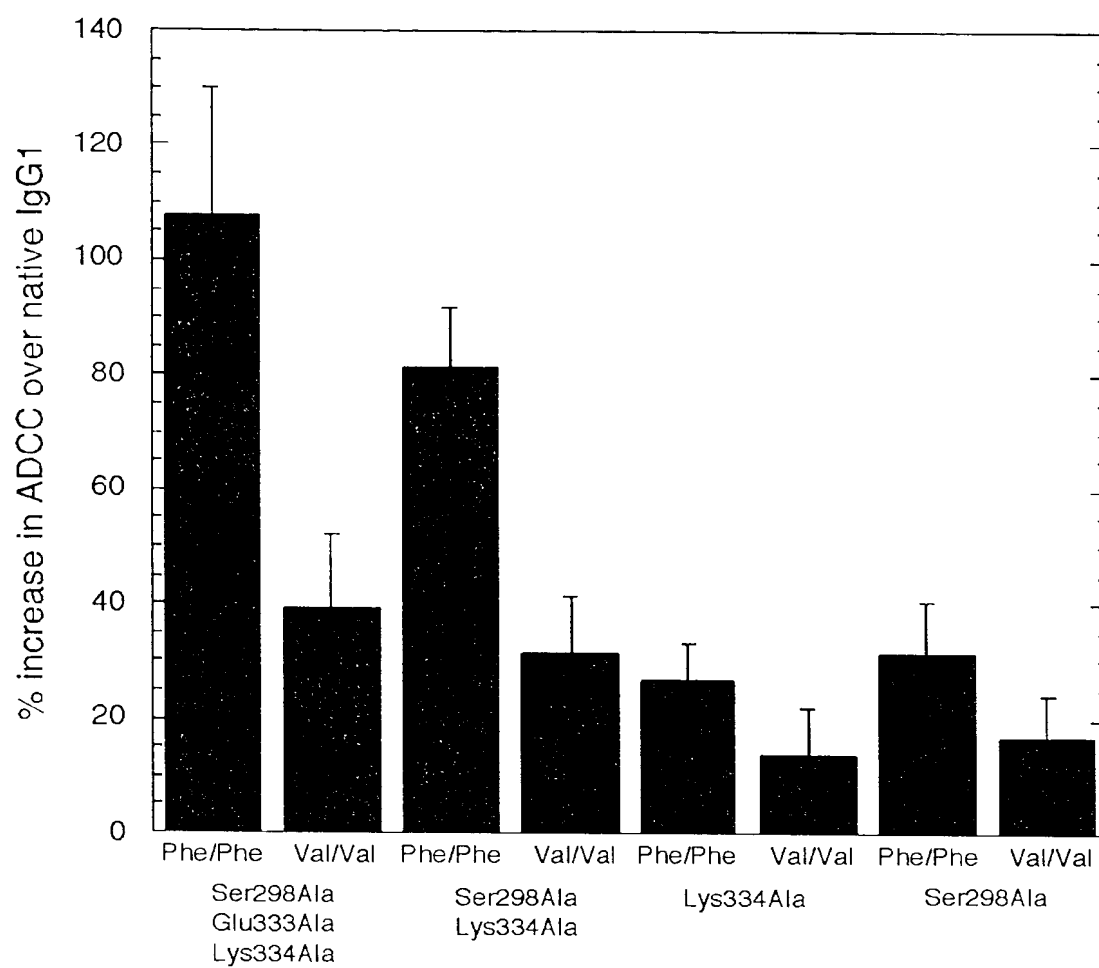


Fig. 27C